

ایجاد پوشش‌های مقاوم به سایش روی زیر لایه فولاد CK45 به روش الکترواسپارک

علیرضا گلendar^{*} و ابوالفضل امیر کاوئی^۲

۱- مدرس، دانشگاه آزاد اسلامی واحد شهر مجلسی

۲- مدرس، دانشگاه آزاد اسلامی واحد نجف آباد

^{*}alireza.golozar@yahoo.com

(تاریخ دریافت: ۸۹/۰۳/۳۱، تاریخ پذیرش: ۸۹/۰۶/۱۰)

چکیده

در این تحقیق پوشش‌های مختلفی بر روی سطح فولاد CK45 به روش الکترواسپارک اعمال شد و میکروساختار و خواص تریبولوژی سطح مورد بررسی قرار گرفت. بدین منظور از دو نوع الکترود شامل الکترود سخت‌کاری فولاد کروم‌دار و الکترود کامپوزیتی TiC-Ni استفاده گردید. برای بررسی میکروساختار و تعیین ترکیب رسوب‌های تشکیل شده از میکروسکوپ الکترونی روبشی (SEM) مجهز به آنالیز EDX استفاده گردید. خواص تریبولوژیکی پوشش‌ها نیز به کمک آزمون سایش موردنیاز مطالعه قرار گرفت. تصاویر SEM نشان داد که در مورد نمونه خام سطح سایش دارای ورقه‌های در حال جدا شدن است و مکانیزم سایش ورقه‌ای دارد. تصاویر مربوط به سطح سایش نمونه با پوشش کامپوزیتی خراش‌های کمتری نسبت به نمونه پوشش داده شده با الکترود کروم‌دار نشان داد. ریزساختار پوشش کامپوزیتی ذرات ریز TiC در زمینه نیکلی با توزیع یکنواخت را نشان داد. بر اساس نتایج کاهش وزن، نمونه‌های پوشش دار سایش کمتر از نمونه بدون پوشش داشتند و نمونه پوشش داده شده با الکترود کامپوزیتی دارای سایش کمتری نسبت به پوشش فولادی کروم‌دار بود. نتایج تغییرات اصطکاکی بر حسب مسافت لغزشی نمونه بدون پوشش مقدار اصطکاک متوسط ۰/۳۱ را نشان داد در حالی که مقدار اصطکاک نمونه پوشش داده شده کامپوزیتی پس از طی حدود ۱۰۰ متر مسافت به مقدار متوسط کمتر از ۰/۱۶۵ می‌رسد. مقدار اصطکاک کمتر در نمونه پوشش داده شده کامپوزیتی به دلیل تغییر مکانیزم سایش از ورقه‌ای به خراشان می‌باشد.

واژه‌های کلیدی:

الکترواسپارک، پوشش‌دهی، سایش، کاربید تیتانیوم، CK45.

۱- مقدمه طور گستردگی در صنایع اتومبیل‌سازی، پتروشیمی و هواپضا

کاربرد پیدا کرده است [۲].

روش‌هایی مانند لحیم‌کاری، کربوره کردن، نیتروروره کردن، نیتروکربوره، نیتروروره، رسوب فیزیکی بخار (PVD)^۱، رسوب

مهندسی سطح عملیات‌هایی روی سطح است که برای بهبود خصوصیات سطحی مواد و ایجاد پوشش‌های سخت انجام می‌گیرد [۱]. پوشش‌دهی بر روی زمینه‌های مختلف امروزه به

تولیدی به روش ESD شامل مواد الکترود و زیر لایه است. هنگام بهینه سازی فرآیند ESD بایستی سیستم الکترود-زیر لایه مورد تحلیل قرار گیرد زیرا که ترکیب فازی و خواص پوشش رسوبی به نوع ماده زیر لایه بستگی دارد [۷، ۸ و ۹].

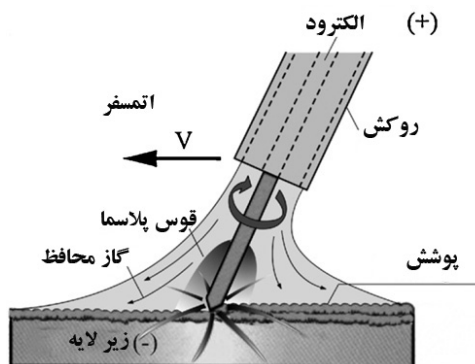
اعمال پوشش های سیستم Al-Ni [۸]، اصلاح و اعمال Cu-Cr-Zr پوشش های کامپوزیتی TiC/Ni روی الکترودهای [۹]، بررسی میکروساختار و خواص سایشی پوشش های سرمت بر پایه TiN روی فولاد زنگنزن [۷] و اعمال پوشش های مختلف روی ابزارهای برش [۱۰]، از جمله تحقیقات اخیر در زمینه الکترواسپار ک می باشد. اهمیت فرآیند الکترواسپار ک در صنعت پوشش دهی در دهه گذشته به قدری قابل توجه بوده است که مقالات مختلفی در زمینه اصلاح پارامترهای فرآیند ارائه شده است [۱۱].

فلزات و آلیاژهای صنعتی مخصوص قالب های صنعتی به وسیله روش الکترواسپار ک تعمیر یا پوشش داده می شوند تا خواص تریبولوژیکی آنها بهبود داده شود. فولاد CK45 نیز یکی از این آلیاژها است که با پوشش دهی می توان خواص سطحی آن را بهبود داد.

هدف از این تحقیق بررسی ریزساختار و خواص تریبولوژیکی پوشش های کامپوزیتی و فولادی کروم دار روی سطح فولاد CK45 است. در این راستا آزمون های سایش مختلفی انجام شد و به کمک تصاویر میکروسکوپ الکترونی رویی، مکانیزم های سایش بررسی شد.

۲- مواد و روش تحقیق

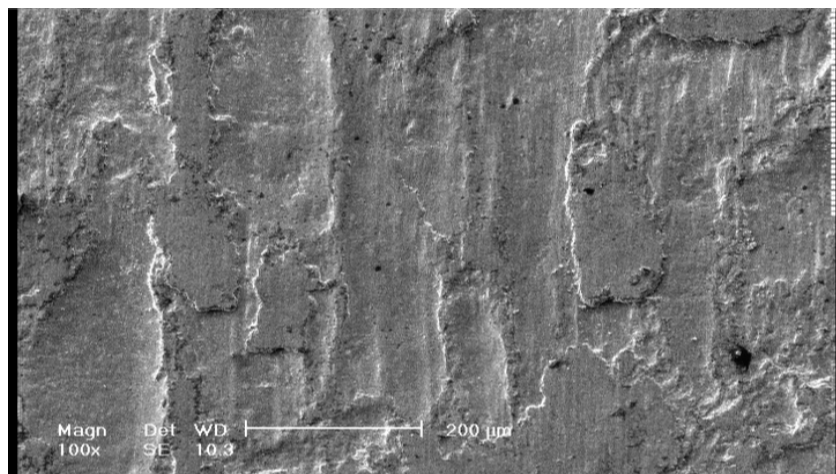
در این پژوهش از فولاد CK45 به عنوان فلز پایه و زیر لایه استفاده گردید (ترکیب C٪ ۰/۴۱، Mn٪ ۰/۰۹، Cr٪ ۰/۷۶، Ni٪ ۰/۰۸، Cu٪ ۰/۱۹، Si٪ ۰/۰۲۳، P٪ ۰/۰۱). ابتدا نمونه هایی با ابعاد $11 \times 2 \times 1$ سانتی متر بریده شد و سپس سطح آن به طور مکانیکی و شیمیایی تمیز گردید. به منظور ایجاد پوشش الکترواسپار ک از دو نوع الکترود استفاده گردید. یکی از الکترودها مخصوص سخت کاری سطحی از جنس فولاد



شکل (۱): شماتیکی از روش پوشش دهی الکترواسپار ک.

شیمیایی بخار (CVD)^۳ و ^۴، برای به دست آوردن یک سطح سخت و مقاوم به سایش به کار می روند. روش هایی مانند لیزر [۵]، پلاسما [۴]، اسپری پودر و روش جوشکاری تنگستن با گاز محافظ می توانند برای تشکیل لایه های پوششی به کار روند که در آن یک حالت شبه ذوب وجود دارد.

استفاده از روش هایی نظیر پاشش سوت - اکسیژن با سرعت بالا (HVOF)^۳ و رسب گذاری الکترواسپار ک (ESD)^۴ از جمله پیشرفت هایی در زمینه بهبود خواص پوششی بر روی سطوح فلزات می باشد [۶]. بر خلاف روش HVOF، ترکیب پوشش ایجاد شده به روش ESD متفاوت از ترکیب الکترود است. رسب گذاری الکترواسپار ک یک فرآیند میکرو جوشکاری قوس - پالسی است که با استفاده از پالس های الکتریکی با جریان بالا و کوتاه مدت یک ماده الکترود (آن) را روی یک زیر لایه (کاتد) اعمال می کند (شکل ۱). این روش یکی از محدود روش هایی است که یک پوشش ذوبی و پیوند داده به صورت متابولوژیکی را با اعمال گرمای کم حاصل می کند و ماده زیر لایه نیز در دمای محیط یا نزدیک آن باقی می ماند. زمان کوتاه پالس الکتریکی باعث انجام دادن فوق سریع ماده رسوبی شده و پوشش با دانه بندی بسیار ریز و یکنواخت ایجاد می کند که در برخی موارد ساختار آمورف نیز به دست می آید. به موجب فرآوری فیزیکی و شیمیایی در فاصله الکترود، ساختار اولیه ماده الکترود تغییر کرده و یک لایه با ساختار اصلاح شده ظاهر می گردد که ساختار ثانویه نام دارد. به همین دلیل پوشش



شکل (۲): تصویر میکروسکوب الکترونی روبشی از سطح سایش نمونه خام.

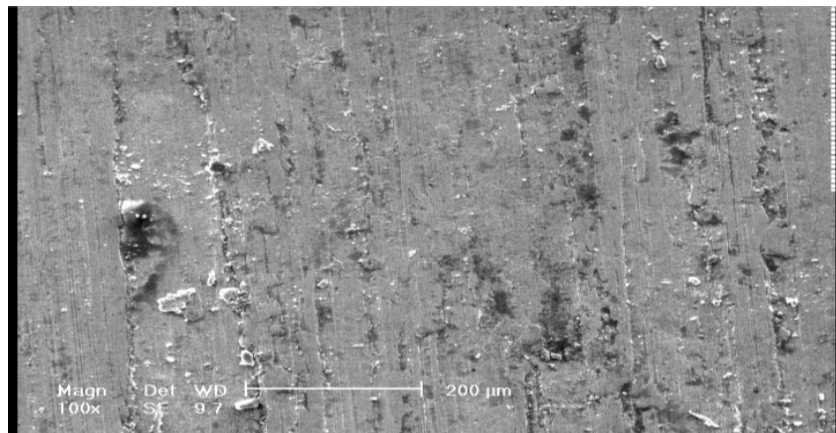
۳- نتایج و بحث

به منظور بررسی خواص تریبولوژیکی و مکانیزم سایش، نمونه‌ها تحت آزمون سایش قرار گرفت و سطوح سایش توسط میکروسکوپ الکترونی روبشی تحت بررسی قرار گرفتند. در شکل (۲) تصویر میکروسکوپ الکترونی روبشی مربوط به سطح سایش نمونه خام آورده شده است. با توجه به شکل مسیر سایش دیده می‌شود که ذرات به صورت ورقه‌ای از سطح جدا شده‌اند و یک سری ذرات ورقه‌ای روی سطح وجود دارد که به علت توقف سایش هنوز از سطح جدا نشده‌اند. ذرات جدا شده به صورت ورقه‌ای بوده که تأیید کننده مکانیزم سایش ورقه‌ای برای این نمونه می‌باشد.

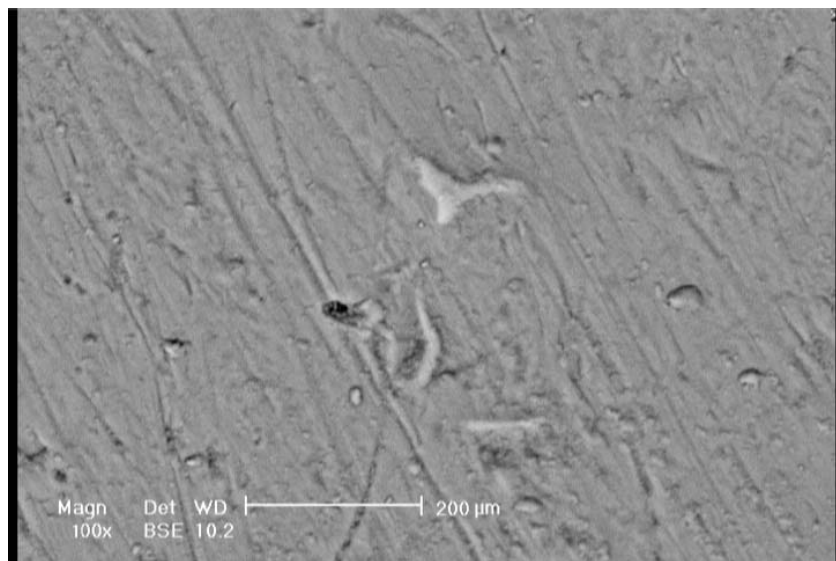
در توجیه این مکانیزم دو نظریه وجود دارد. اولین نظریه تئوری تجمع نابجایی‌ها در زیر سطح می‌باشد. با افزایش مسافت لغزش، نابجایی‌ها در فاصله کوتاهی از سطح تجمع می‌کنند. با افزایش دانسته نابجایی‌ها، این نابجایی‌ها به هم پیوسته و یک سری حفرات تشکیل می‌شود. با گذشت زمان، حفره‌ها به هم می‌پیوندند و نهایتاً یک ترک به موازات سطح شکل می‌گیرد. وقتی طول ترک به حد بحرانی رسید، ماده بین ترک و سطح به صورت یک ذره ورقه‌ای شکل از سطح جدا می‌شود [۲].

کروم دار (۳/۵ - ۲/۵٪ کروم و ۰/۱۵ - ۰/۳٪ کربن) و دیگری الکترود کامپوزیتی با ترکیب TiC-Ni بود (ساخت روسیه). رسبوگذاری الکترواسپارک به کمک یک دستگاه مدل Alier-Metal 2000 انجام شد. شدت جریان دستگاه روی ۱۷۰ آمپر و فرکانس آن در ۵۰۰ هرتز تنظیم گردید. به منظور حفاظت بیشتر پوشش و کنترل اتمسفر نیز از گاز آرگون با خلوص ۹۹/۹۹٪ استفاده گردید. ضخامت پوشش اعمال شده تحت شرایط این تحقیق در حدود ۳۰۰ μm می‌باشد.

به منظور بررسی و آنالیز سطوح از میکروسکوپ الکترونی روبشی مدل Philips XL30 مجهز به EDS استفاده گردید. آزمایش سایش خشک به روش رفت و برگشتی، در دمای محیط، با پین از جنس فولاد بلبرینگ DIN ۵۲۱۰۰ با سختی حدود ۶۴ راکولسی، ارتفاع ۵۰ میلی‌متر و شعاع عرقوچین ۵ میلی‌متر انجام گرفت. حرکت پین در یک مسیر رفت و برگشتی به طول ۱۱ سانتی‌متر و با سرعتی معادل ۰/۱۶ متر بر ثانیه بر روی نمونه سایش انتخاب شد. آزمایش‌های سایش تحت نیروی ثابت ۱۸ کیلوگرم انجام گردید و کاهش وزن نمونه‌ها پس از طی مسافت‌های ۱۰۰، ۲۰۰، ۴۰۰، ۶۰۰ و ۸۰۰ و ۱۰۰۰ متر ثبت شد.



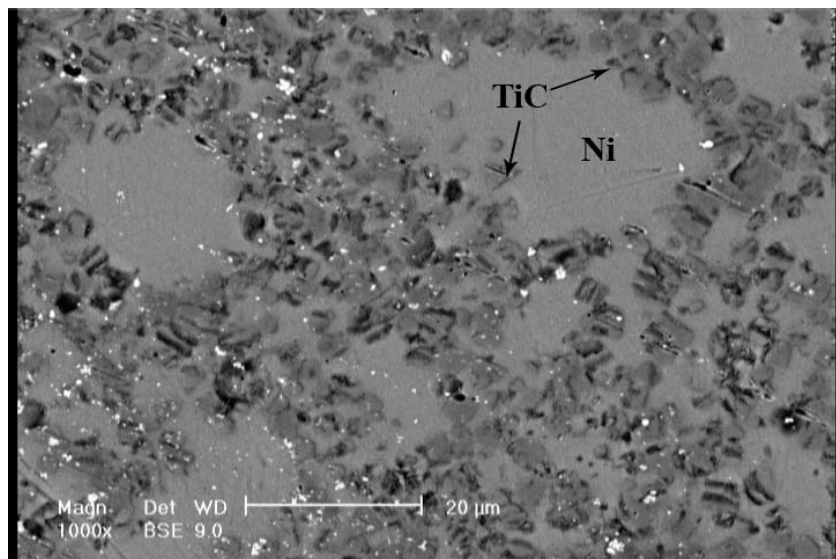
شکل (۳): تصویر میکروسکوپ الکترونی روبشی از سطح سایش نمونه با پوشش فولاد کروم دار.



شکل (۴): تصویر میکروسکوپ الکترونی روبشی از سطح سایش نمونه با پوشش کامپوزیتی.

ماده و ضریب اصطکاک دارد، اشاعه یابند. در مکان‌های ضعیف و معینی این ترک‌ها سطح را از عمق برش داده و ذرات سایش به صورت ورقه‌های نازک و طویل پدید می‌آید. ضخامت ذره سایش ورقه‌ای بسته به موقعیت رشد ترک در زیر سطح دارد و توسط نیروهای عمودی و مماسی کنترل می‌گردد [۲]. در شکل‌های (۳) و (۴) تصویر میکروسکوپ الکترونی روبشی از سطح سایش نمونه‌های پوشش داده شده با الکترود فولاد کروم دار مخصوص سخت کاری سطحی و الکترود کامپوزیتی نشان داده شده است. با توجه به تصویر مسیر سایش مشاهده

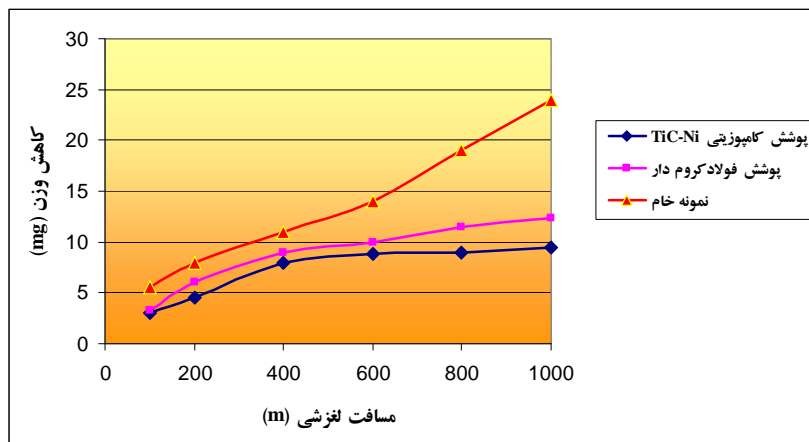
در تئوری بعدی که تئوری تنش‌های فشاری در سطح نام دارد گفته می‌شود هنگامی که دو سطح لغزش در تماس با یکدیگر قرار می‌گیرند، به واسطه بارگذاری مکرر، ناهمگونی‌های سطح نرم‌تر به راحتی تغییر شکل یافته و برخی از آنها شکسته می‌شوند. ناهمگونی‌های سطح سخت‌تر روی سطح نرم‌تر، تغییر شکل برشی پلاستیک ایجاد کرده و یک حالت کشیدگی در زیر سطح ایجاد می‌شود. با زیاد شدن این تغییر شکل‌ها ترک‌هایی در زیر سطح جوانه می‌زنند. با وجود تنش فشاری بالا ترک‌ها تمایل دارند به موازات سطح و در یک عمقی که بستگی به خواص



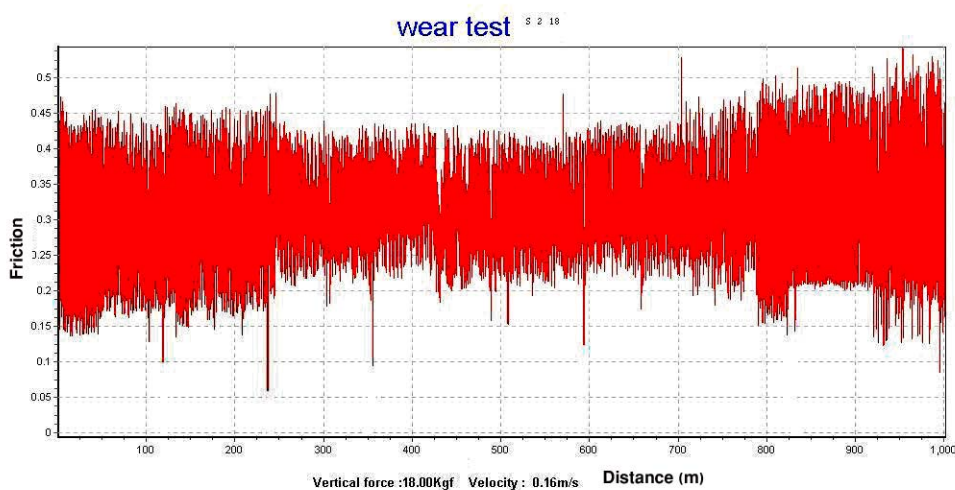
شکل (۵): تصویر میکروسکوب الکترونی روشنی از ریزساختار پوشش کامپوزیتی.

در این تحقیق خواص تریبولوژیکی نمونه‌های خام و پوشش دار نیز بررسی شد. نمودار کاهش وزن بر حسب فاصله لغزشی در شکل (۶) نشان داده شده است. همانطوری که از شکل مشخص است مقدار کاهش وزن در نمونه فولادی خام افزایش می‌یابد. در حالی که منحنی کاهش وزن مربوط به نمونه‌های پوشش دار کمتر از حالت خام است و پس از طی مسافت حدود ۶۰۰ متر ثابت می‌گردد. نمونه پوشش داده شده با الکترود کامپوزیتی دارای سایش کمتری نسبت به پوشش فولادی کروم دار است. سایش کمتر نمونه‌های پوشش دار در توافق با تصاویر SEM سطوح پوشش است که مکانیزم سایش خراشان داشتند. نمودار تغییرات اصطکاک بر حسب مسافت لغزشی نمونه خام بدون پوشش (شکل ۷)، مقدار اصطکاک متوسط 0.31 ± 0 را نشان داد. میزان اصطکاک با طی مسافت تغییر چندانی نمی‌کند و به دلیل مکانیزم سایش ورقه‌ای در مسافت‌های بالا اصطکاک کمی افزایش و دامنه تغییرات بیشتر می‌گردد. نمودارهای مربوط به تغییرات اصطکاک نمونه‌های پوشش داده شده در شکل‌های (۸) و (۹) آورده شده است. نمونه پوشش داده شده با الکترود فولاد کروم دار (شکل ۸)، مقدار اصطکاک متوسط 0.22 ± 0 را نشان داد،

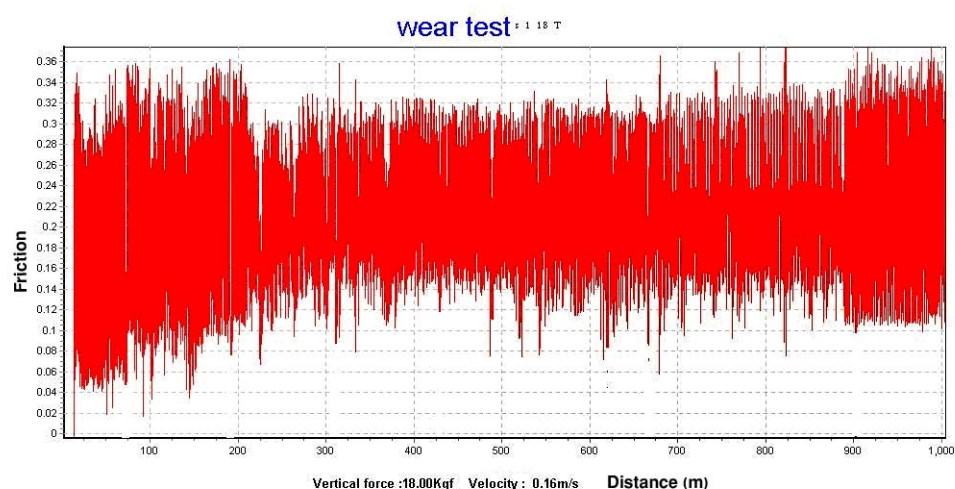
می‌شود که سطح دارای خراش‌های موازی در جهت مسیر سایش می‌باشد. شکل مسیر سایش و ذرات حاصل از سایش بیانگر سایش از نوع خراشان در نمونه‌های پوشش دار می‌باشد. شکل (۴) مربوط به سایش پوشش کامپوزیتی با وجود بزرگنمایی بالاتر دارای خراش خیلی کمتر است. ریزساختار مربوط به پوشش کامپوزیتی در شکل (۵) نشان داده شده است. همانطوری که مشاهده می‌شود ذرات کاربیدی اندازه کوچکتر از $5 \mu\text{m}$ دارند و به طور یکنواخت در زمینه فلزی توزیع شده‌اند. آنالیز EDX همراه با مشاهدات شکل ظاهری رسوبات تأیید کرد که ترکیب آنها کاربید تیتانیوم (TiC) است. وجود ذرات سرامیکی TiC توزیع شده در زمینه فلزی نیکلی باعث کاهش نرخ سایش می‌شود. اندازه کوچک ذرات کاربید تیتانیوم می‌تواند مربوط به انجاماد سریع روش الکترواسپارک و جلوگیری از رشد دانه باشد. استفاده از کاربیدهای فلزی جهت پوشش دهی فولادهای مختلف در مراجع گزارش شده است [۲ و ۶]. با وجود ذرات سرامیکی در زمینه فلزی، خراش سطح موجب کنده شدن ماده نمی‌گردد و تنها ماده در سطح جابجا شده و به طور مرتب به صورت برآمدگی‌هایی در دو طرف شیار ایجاد شده انباسته می‌گردد [۱۲].



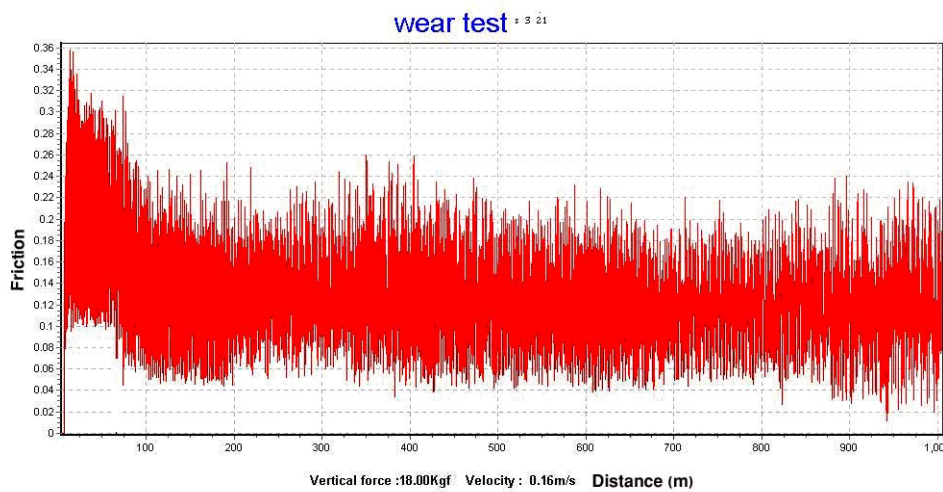
شکل (۶): نمودار کاهش وزن بر حسب مسافت لغزشی.



شکل (۷): منحنی تغیرات ضریب اصطکاک بر حسب مسافت لغزشی برای نمونه خام بدون پوشش.



شکل (۸): منحنی تغیرات ضریب اصطکاک بر حسب مسافت لغزشی برای نمونه پوشش داده شده با الکترود فولادی کروم دار.



شکل (۹): منحنی تغییرات ضریب اصطکاک بر حسب مسافت لغزشی برای نمونه پوشش داده شده با الکترود کامپوزیتی Ni-Ti-C.

۴- نتیجه‌گیری

ایجاد پوشش کامپوزیتی TiC-Ni و پوشش فولاد کروم‌دار بر روی زیر لایه فولادی به روش الکترواسپارک امکان‌پذیر است. تصاویر SEM نشان داد که در سطح نمونه بدون پوشش یک سری ریزترک‌هایی ایجاد می‌شود که با ادامه سایش موجب جدا شدن لایه‌های سطحی می‌گردد. همچنین مکانیزم سایش در نمونه‌های خام از نوع ورقه‌ای و در نمونه‌های پوشش دار از نوع خراشان می‌باشد. ریزساختار مربوط به پوشش کامپوزیتی ذرات کاربیدی ریز با توزیع یکنواخت در زمینه فلزی را نشان داد. وجود ذرات سرامیکی TiC توزیع شده در زمینه فلزی نیکلی باعث کاهش نرخ سایش می‌شود. منحنی کاهش وزن مربوط به نمونه‌های پوشش دار سایش کمتر از حالت خام را نشان داد و نمونه پوشش داده شده با الکترود کامپوزیتی دارای سایش کمتری نسبت به پوشش فولادی کروم‌دار است. نمودار تغییرات اصطکاک بر حسب مسافت لغزشی نمونه بدون پوشش مقدار اصطکاک متوسط 0.31 ± 0.03 را نشان داد در حالی که مقدار اصطکاک نمونه پوشش داده شده کامپوزیتی پس از طی حدود ۱۰۰ متر مسافت به مقدار متوسط 0.165 ± 0.019 می‌رسد. مقدار اصطکاک کمتر در نمونه پوشش داده شده کامپوزیتی به دلیل تغییر مکانیزم سایش از ورقه‌ای به خراشان می‌باشد. وجود ذرات ریز سرامیکی TiC در زمینه نیکلی موجب خراش کمتر و سایش کم نسبت به نمونه خام و پوشش داده شده با فولاد کروم‌دار می‌گردد. خواص تریبولوژیکی پوشش‌های TiC روی زیر لایه‌های فولاد زنگنزن C 440 نیز توسط روش پاشش مگنترون^۵ مورد مطالعه قرار گرفته است. طبق نتایج به دست آمده پوشش TiC با ضخامت $2\mu\text{m}$ باعث ضریب اصطکاک در محدوده 0.19 ± 0.022 می‌گردد [۱۳]. در مقاله دیگری خواص سایشی پوشش‌های کاربیدی و نیتریدی روی فولادهای AISI1020 و AISI52100 مورد بررسی قرار گرفت [۱۴]. نتایج این تحقیق نشان داد که پوشش‌های کاربید کروم و نیترید تیتانیوم می‌توانند به ترتیب باعث کاهش ضریب اصطکاک به میزان 20% و 19% شوند [۱۴].

در حالی که نمونه پوشش داده شده کامپوزیتی (شکل ۹)، در ابتدا مقدار اصطکاک متوسط 0.22 ± 0.0 داشت که پس از طی حدود ۱۰۰ متر مسافت به مقدار متوسط 0.165 ± 0.0 می‌رسد. مقدار اصطکاک کمتر در نمونه پوشش داده شده کامپوزیتی به دلیل تغییر مکانیزم سایش از ورقه‌ای به خراشان می‌باشد. وجود ذرات ریز سرامیکی TiC در زمینه نیکلی موجب خراش کمتر و سایش کم نسبت به نمونه خام و پوشش داده شده با فولاد کروم‌دار می‌گردد. خواص تریبولوژیکی پوشش‌های TiC روی زیر لایه‌های فولاد زنگنزن C 440 نیز توسط روش پاشش مگنترون^۵ مورد مطالعه قرار گرفته است. طبق نتایج به دست آمده پوشش TiC با ضخامت $2\mu\text{m}$ باعث ضریب اصطکاک در محدوده 0.19 ± 0.022 می‌گردد [۱۳]. در مقاله دیگری خواص سایشی پوشش‌های کاربیدی و نیتریدی روی فولادهای AISI1020 و AISI52100 مورد بررسی قرار گرفت [۱۴]. نتایج این تحقیق نشان داد که پوشش‌های کاربید کروم و نیترید تیتانیوم می‌توانند به ترتیب باعث کاهش ضریب اصطکاک به میزان 20% و 19% شوند [۱۴].

- [10] S. Ghabrial and S. J. Ebeid, "The Effect of Electrospark Hardening on the Wear Resistance of High Speed Steel", Wear, Vol. 71, pp. 347-354, 1981.
- [11] V. Alexander, O. Sahin and K. Korkmaz, "A Modified Electrospark Alloying Method for Low Surface Roughness", Surface & Coatings Technology 203, pp. 3509-3515, 2009.
- [12] T. S. Eyer, "Wear Characteristics of Metals", Tribology International, Vol. 9, No. 10, pp. 1-10, 1979.
- [13] J. Tang, L. Feng and J. S. Zabinski, "The Effects of Metal Interlayer Insertion on the Friction, Wear and Adhesion of TiC Coatings", Surface and Coatings Technology 99, pp. 242-247, 1998.
- [14] U. Sen, "Friction and Wear Properties of Thermo-Reactive Diffusion Coatings against Titanium Nitride Coated Steels", Materials and Design 26, pp. 167-174, 2005.

۶- پی‌نوشت

- 1- Physical Vapor Deposition
- 2- Chemical Vapor Deposition
- 3- High Velocity Oxygen Fuel
- 4- Electro Spark Deposition
- 5- Magnetron Sputtering

۵- مراجع

- [1] N. Abe, et. al, "Formation of WC-Co Layer by an Electron Beam Cladding Method and Evolution of the Layer Properties", Vacuum 59, pp. 373-400, 2000.
- [2] Z. Lio, et. al6, "Preparation of WC-Co Composite Powder by Electroless Plating and Application in Laser Cladding", Materials letters, Vol. 60, pp. 1956-1959, 2006.
- [3] J. R. Dvis, & Associates, "Properties and Selection: Nonferrous Alloys and Special-Purpose Materials", ASM Handbook, Vol. 2, pp. 950-1008, 1997.
- [4] J. R. Dvis, & Associates, Hard Facing, "Weld Clading, and Dissimilar Metal Joining", ASM Handbook, Vol. 6, pp. 789-829, 1992.
- [5] H. Udin, E. R. Funk, Wulf., "Welding for Engineers", New York, John Wiley and Sons Publications, 1954.
- [6] E. I. Zamulaeva, E. A. Levashov and A. E. Kudryashov, "Electrospark Coatings Deposited onto an Armco Iron Substrate with Nano and Microstructured WC-Co Electrodes", Surface & Coatings Technology 202, pp. 3715-3722, 2008.
- [7] X. Li, D. Q. Suna and X. Y. Zheng, "Microstructures and Wear Properties of TiN-Based Cermet Coating Deposited on 1Cr18Ni9Ti Stainless Steel by Electrospark Process", Materials Science and Engineering A 490, pp. 126-130, 2008.
- [8] D. W. Heard and M. Brochu, "Development of a Nanostructure Microstructure in the Al-Ni System Using the Electrospark Deposition Process", Journal of Materials Processing Technology 210, pp. 892-898, 2010.
- [9] Z. Chen and Y. Zhou, "Surface Modification of Resistance Welding Electrode by Electro-Spark Deposited Composite Coatings: Part I. Coating Characterization", Surface & Coatings Technology 201, pp. 1503-1510, 2006.